

潜在蒸散发估算的简化方法及其应用^①

张颖^{1,2}, 郝兴明¹, 花顶^{1,2}, 孙海涛^{1,2}, 李玉朋^{1,2}

(1. 中国科学院新疆生态与地理研究所荒漠与绿洲生态国家重点实验室, 新疆 乌鲁木齐 830011;

2. 中国科学院大学, 北京 100049)

摘要: 潜在蒸散发在区域水量平衡、干旱程度评价、农作物需水量等方面的研究中具有重要的作用。然而, 潜在蒸散发的空间化处理一直以来都是相关研究面临的一个挑战。基于新疆地区 1960—2017 年 66 个气象站的观测数据, 通过一种简单的参数方程, 实现了潜在蒸散发(ET_0)的空间化处理。研究结果表明: ① 简化参数方程中的 2 个重要参数 a 、 c 的空间分布呈现一定的规律, 参数 a 在空间上呈现东南高, 西北低的特点; 参数 c 则随海拔的增加而增大。② 简化参数方程与 Penman-Monteith 方法相比, 拟合结果在日、月和季节尺度上的 R^2 值均大于 0.90, 且 R^2 值随时间尺度的增加而增大。③ 将简化参数方程的拟合结果与 CRU 数据和 MOD16A2 数据进行对比发现: 简化参数方程与 Penman-Monteith 方法拟合的 R^2 值较高, 拟合效果和偏差指标表现更佳, 而 CRU、MOD16A2 数据拟合的 R^2 值较低。简化参数方程所获得的潜在蒸散发精度高且空间分辨率更高(500 m × 500 m), 是一种适用于新疆地区潜在蒸散发估算的简便有效的方法。

关键词: 潜在蒸散发(ET_0); 参数方程; Penman-Monteith 公式; 空间插值

潜在蒸散发是指具备充分土壤水分条件下垫面的全部蒸发量^[1]。它是区域水分循环和能量平衡的重要环节, 对地区干旱程度评价、农业灌溉管理、水文模型建立、气候变化影响等方面的研究具有重要意义^[2-5]。潜在蒸散发也被称作参考作物蒸散发, 用 ET_0 表示。 ET_0 的计算方法较多, 但认可度高且常用的方法为 Penman-Monteith 公式 (PM 公式)^[6], 它是联合国粮农组织计算潜在蒸散发的首选公式^[7]。PM 公式基于物理常量来计算 ET_0 , 需要测量某地区的众多气候要素, 包括气温、净辐射、日照时数、风速、空气相对湿度^[7]。PM 公式计算的 ET_0 常常作为与其他模型结果比较的基准^[8-10]。但是, 由于 PM 公式的计算需要较多气象观测数据, 因此, 在一些缺少资料的地区应用就受到了极大的限制^[11]。针对这种情况, 一些替代性公式开始出现。这些公式可概括为 2 种类型, 一是基于温度的计算方法^[12-13]; 二是基于温度和辐射的计算方法^[14-15]。前者使用气温数据计算, 后者则是使用气温和总辐射计算 ET_0 值。然而, 由于这些计算方法发展于特定的气候条件和地区, 其模拟结果会因不同地区的气候条件而产生偏差, 因此, 更多的研究开始针对本

地 ET_0 模型的校准工作。Allen 等^[16]首次将这类模型用于当地 ET_0 估算, 他们利用当地关于风速的函数校准并验证了 Blaney-Criddle 模型对彭曼数据的有效性, 并且用日蒸渗仪测量了苜蓿的蒸散量。类似的模型还有 Blaney-Criddle 模型^[13]、Priestley-Taylor 模型^[14]、Thornthwaite 模型^[17] 和 Hargreaves 参数方程^[18]。近年来, 经 PM 公式改进的三参数和两参数模型^[8,11,19] 因其计算方式简便, 数据容易获取, 故被广泛应用于气象站点数据不完善或气象数据获取困难的地区的 ET_0 估算。

除了模型模拟和校准 ET_0 数据, 潜在蒸散发空间数据产品, 例如 GLDAS^[20]、CRU^[21]、MOD16A2^[22] 等是目前使用较多的可靠空间数据集。但由于这些数据产品空间分辨率和时间分辨率较低^[23], 一定程度上限制了它们的广泛应用。针对此, 有研究利用简化参数模型, 通过实现温度和总辐射空间化, 进而对 ET_0 进行空间插值运算, 得到了更高分辨率的潜在蒸散发的空间化产品^[4]。

本研究旨在利用简化参数方程进行新疆地区

① 收稿日期: 2018-12-05; 修订日期: 2019-01-15

基金项目: 国家自然科学基金(41571109); 中国科学院 A 类战略性先导科技专项(XDA20100303)资助

作者简介: 张颖(1994-), 女, 硕士研究生, 研究方向为生态水文与植物生理生态. E-mail: zhangying16@mails.ucas.ac.cn

通讯作者: 郝兴明. E-mail: haoxm@ms.xjbi.ac.cn

ET_0 的计算与空间插值,并通过与 PM 公式计算结果的对比,评价简化参数方程在站点尺度上的估算精度。利用决定系数(R^2)、平均绝对误差(MAE)、相对偏差(BIAS)等指标评估基于简化参数方程的 ET_0 空间数据与 CRU 和 MOD16A2 数据产品的拟合精度与偏差,评估简化参数方程在新疆地区的适用性。

1 数据来源与研究方法

1.1 数据来源

本研究采用新疆地区 66 个气象站点(图 1)所记录的每日平均气压、气温、相对湿度、风向风速和日照时数等数据。数据来源于中国气象数据共享网(<http://data.cma.cn>)。新疆地区的潜在蒸散发空间数据分别来自时序为 1961—2014 年的 CRU TS 3.2 月尺度 ET_0 数据(http://data.ceda.ac.uk/badc/cru/data/cru_ts/cru_ts_3.23/data/)和 MOD16A2 提供的 2000—2014 年全球 ET_0 月尺度数据(http://files.ntsg.umd.edu/data/NTSG_Products/MOD16/MOD16A2_MONTHLY_MERRA_GMAO_1kmALB/

GEOTIFF_0.5degree/), 它们的空间分辨率均为 $0.5^\circ \times 0.5^\circ$ 。

1.2 研究方法

1.2.1 简化参数方程及拟合效果评估方法 在气象要素缺少的地区,PM 公式的应用受到限制。针对此,有研究者提出仅依赖于温度和总辐射计算 ET_0 的新方法^[19]。简化参数方程[以下简称参数方程,公式(1)]与经典 PM 公式^[7]有一定关系,其中 aR_a 代表 PM 公式中辐射项,表示输入辐射与输出辐射的差值。 $(1 - cT)$ 是 PM 公式中分母项的近似值^[19]。参数方程公式如下:

$$PET = \frac{aR_a}{1 - cT} \quad (1)$$

式中: PET 指参数方程计算的潜在蒸散发值; T 指该站点的每日平均气温($^\circ\text{C}$); R_a 是指理想大气晴天下各站点每日大气上界的总辐射量($\text{MJ} \cdot \text{m}^{-2} \cdot \text{d}^{-1}$),与当地纬度和太阳高度角有关,用公式(2)计算得到。

$$R_a = \frac{24(60)}{\pi} G_{sc} d_r [\omega_s \sin(\varphi) \sin(\delta) + \cos(\varphi) \cos(\delta) \sin(\omega_s)] \quad (2)$$

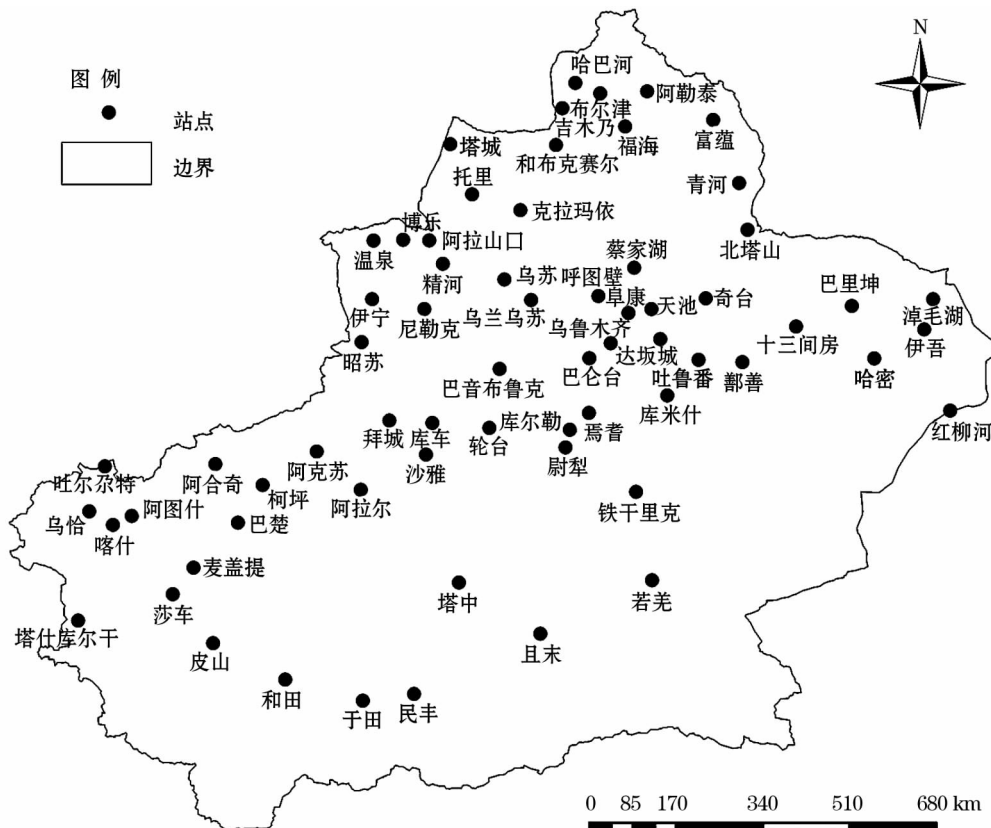


图 1 新疆地区 66 个站点空间分布示意图

Fig. 1 Spatial distribution of 66 meteorological stations in Xinjiang

式中: G_{sc} 是太阳常数等于 $82 \text{ kJ} \cdot \text{m}^{-2}$; d_r 是日地平均距离的倒数; ω_s 为当地太阳高度角; φ 是地理纬度; δ 为太阳赤纬角, 以上 3 个变量单位为弧度 (rad), d_r 和 δ 由日序数计算得到, 而 ω_s 由地理纬度和日序数计算得出^[6], R_a 的计算在 MATLAB 软件中实现。参数 $a (\text{kg} \cdot \text{kJ}^{-1})$ 和参数 $c (^\circ\text{C}^{-1})$ 是由联合国粮农组织提供的 FAO-56 Penman-Monteith 公式^[7] 计算的 ET_0 拟合得到, 采用 SigmaPlot11.0 中非线性方程拟合实现。公式如下:

$$f(x_1, x_2) = \frac{ax_1}{1 - cx_2} \quad (3)$$

式中: x_1 表示每日总辐射 R_a ; x_2 表示每日平均气温 $T (^\circ\text{C})$; $f(x_1, x_2)$ 是 PM 公式计算得到的每日 ET_0 。分别给参数 a, c 赋值为 0.000 1 和 0.01, 得到与站点一一对应的参数 a, c 。

PM 公式计算得出的 ET_0 值简写为 ET_{0_pm} , 与参数方程计算的 ET_0 (ET_{0_mod}) 进行对比, 使用决定系数 (R^2)、平均绝对误差 (MAE)、相对偏差 (BIAS) 来评价和校准参数方程在模拟估计 ET_0 时的拟合效果^[8]。其中, R^2 越接近 1, 代表拟合效果越佳, 平均绝对误差 MAE (mm) 与相对偏差 BIAS (%) 越小, 表示 ET_{0_pm} 和 ET_{0_mod} 间的偏差值越小。

1.2.2 空间插值方法 参数方程实现 ET_0 的空间化需要以下几个步骤。首先, 使用 Anusplin 软件对每日平均气温进行空间插值, 该软件采用的插值方法是薄板样条函数法^[24]。然后, 基于日序数和地理纬度, 利用公式 (2) 在 ArcGIS 软件中实现每日总辐射 R_a 的空间栅格运算。

最为关键的 2 个参数 a, c 空间化的具体步骤为: ① 将 a, c 分别与站点经度、海拔和温度进行回

归分析, 建立参数 a, c 的拟合方程; ② 基于该拟合方程和相关因子进行参数 a 和 c 的栅格运算, 标记为 a' 和 c' ; ③ 以 a' 和 c' 作为协同变量, 采用样条曲线法进行参数 a, c 空间插值。最后, 基于每日平均气温 T 、总辐射 R_a 和参数 a, c 的空间插值结果, 利用参数方程 (1) 进行 ET_{0_mod} 空间栅格运算, 得到新疆全区的 ET_0 空间分布。

2 研究结果

2.1 不同时间尺度下 ET_{0_mod} 与 ET_{0_pm} 的分析对比

由图 2 可以看出, 采用参数方程计算的 ET_{0_mod} 与 PM 公式计算的 ET_{0_pm} 结果趋势一致, 精度较高。在日时间尺度上, ET_{0_mod} 表现为高估的时间段主要为年初 (1~86 d)、年中 (167~230 d) 和年末 (300~365 d), 平均高估幅度为 0.28 mm; 其余时间段 ET_{0_mod} 则表现为低估状态, 平均低估幅度为 0.25 mm。总体上, ET_{0_mod} 表现为高估状态, 平均高估 0.08 mm (图 2a)。在月时间尺度上, ET_{0_mod} 与 ET_{0_pm} 相比, 在 4 月、5 月、8 月、9 月、10 月表现为低估, 平均低估 7.47 mm, 低估幅度最大为 10.19 mm。与此相对, 在其余月份 ET_{0_mod} 则表现为高估状态, 平均高估 7.74 mm, 最大高估幅度 12.19 mm (图 2b)。在季节尺度上, ET_{0_mod} 与 ET_{0_pm} 相比趋势最为接近, 总体上 ET_{0_mod} 高估了 5.31 mm (图 2c)。平均绝对偏差 MAE 的年内变化 (图 2a) 和月尺度变化 (图 2b) 都随着时间的增加而上下波动, 1 月、4 月、7 月、9 月和 12 月在波峰, 3 月、6 月、8 月、10 月处在波谷; 并且季节尺度上 (图 2c), MAE 冬季最高, 夏秋季节最低。

此外, 基于站点数据计算的多年日、月、季节的

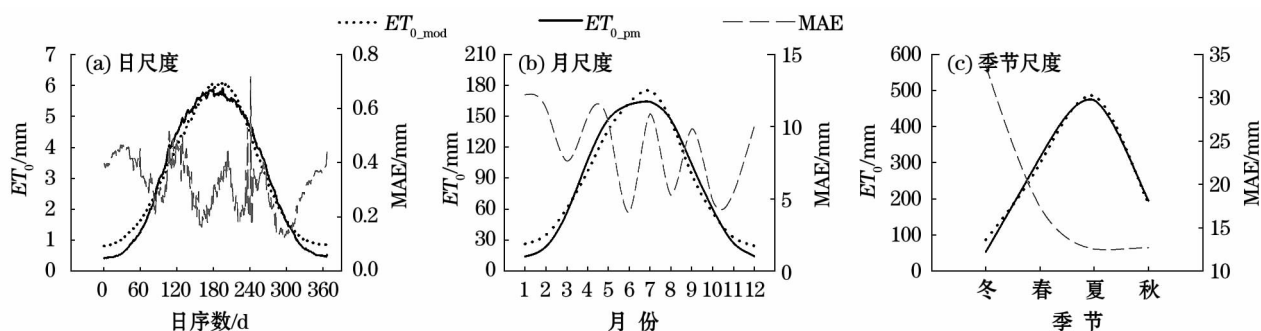


图 2 不同时间尺度 PM 公式计算的潜在蒸散发 (ET_{0_pm}) 与参数方程 ET_0 值 (ET_{0_mod}) 的年内平均变化和平均绝对偏差 (MAE)

Fig. 2 Compared results of the potential evapotranspiration (ET_{0_pm}) calculated by the PM formula and the ET_0 value of the parametric equation (ET_{0_mod}) at different time scales and mean absolute error (MAE) trend

ET_{0_mod} 与 ET_{0_pm} 之间的决定系数 R^2 评价结果表明, R^2 值在日尺度、月尺度和季节尺度分别为0.991、0.991、0.993,拟合精度会随时间尺度增加而增加。因在月尺度下, ET_{0_mod} 与 ET_{0_pm} 在66个站点上的决定系数 R^2 平均值为0.94,有33.33%的站点 ET_{0_pm} 与 ET_{0_mod} 的 R^2 值大于0.95,有57.09%的站点 R^2 值介于0.92~0.95之间,仅有3.03%的站点 R^2 值小于0.90。因此,笔者采用月尺度下的 ET_{0_pm} 来校准评价参数模型下的 ET_{0_mod} 值,并计算各个站点参数 a 、 c 的值。

ET_{0_mod} 与 ET_{0_pm} 在各个站点上的平均绝对偏差(MAE)与相对偏差(BIAS)可以反映出参数方程与PM公式的偏差程度(图3)。评价结果表明:①新疆66个站点的MAE均值为0.38 mm,其中MAE大于0.50的站点占总数的12.12%;MAE介于0.40~0.50的站点占总数18.18%;MAE介于0.20~0.40的站点占总数65.15%;而MAE介于0.10~0.20的站点占总数的4.55%。总体上,超过59.98%的站点MAE值小于0.40,因此,MAE总体较小。②66个站点的BIAS均值为0.0160,其中大于0.04的站点占总数1.52%;介于0.02~0.04之间的站点占总数的37.88%;0.01~0.02之间的站点占总数的37.88%;小于0.01的站点占总数的22.72%。总体上,有超过50.00%的站点相对偏差值小于0.02,偏差较小,说明拟合效果较优。③全疆MAE空间分布(图3a)表明,北疆大部分站点MAE偏高,南疆站点MAE相对较低,其中塔中站MAE最低,为0.16 mm;全疆BIAS空间分布和MAE类似(图3b),北疆多数站点BIAS偏高,南疆多数站点BIAS

值偏低。

2.2 参数 a 、 c 和 ET_0 的空间分布特征

将参数方程与PM公式计算的每月 ET_0 均值进行拟合,得到各个站点的参数 a 、 c 值,参数 a 最大值为0.0001,最小值为0.000047;参数 c 最大值为0.04,最小值为0.015。运用样条曲线法对2个参数进行空间插值,得到参数 a 、 c 的空间分布规律(图4a、4b)。结果表明:参数 a 的空间分布与太阳辐射相关,在低纬度地区太阳辐射越高, a 值则越大,而高纬度地区太阳辐射较低,参数 a 也随着辐射的降低而减小,其空间变化呈现东南高,西北低。而参数 c 则与海拔相关性高, c 的分布会随着海拔高度的变化而变化,海拔越高 c 值越大,海拔越低 c 值越小。

由参数方程空间插值得到的新疆地区全年和7月 ET_0 空间分布表明:

(1) 1960—2017年新疆地区多年平均 ET_0 为1028 mm,并且存在显著空间差异(图4c)。从全疆来看,平原区年均 ET_0 为1130 mm,山区为864 mm,平原区的蒸发量远远大于山区。平原区的全年温度高,降水稀少,蒸发过程强烈,而山区温度随着海拔的升高而降低,温度整体较低,且降水较多,蒸发过程较弱。

(2) 南北疆的多年平均 ET_0 也存在明显差异(图4c),南疆地区年均 ET_0 值为1047 mm,北疆地区为996 mm。在南疆平原区, ET_0 达到1187 mm;南疆山区潜在蒸散发较低,为899 mm。北疆平原区多年平均 ET_0 为1076 mm,山区为780 mm。新疆地区 ET_0 空间变化趋势差异显著,主要原因是:南疆地处暖温带,有塔克拉玛干沙漠,气候干燥少雨,全

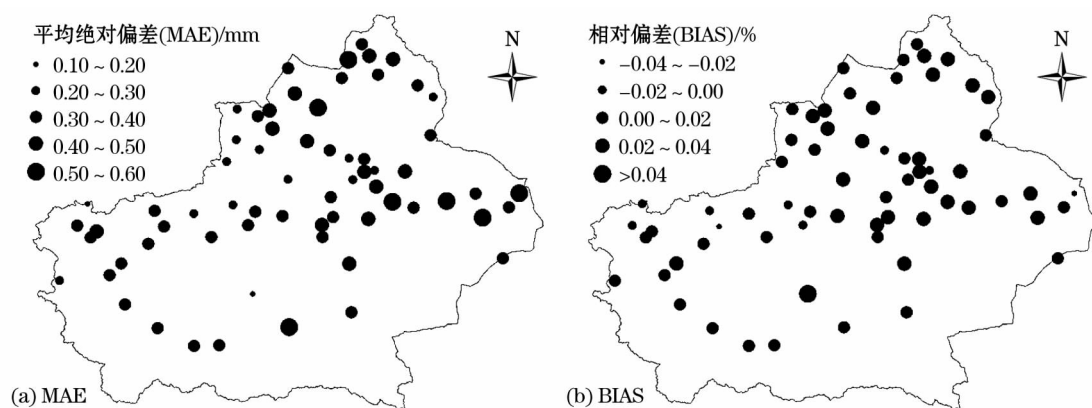


图3 新疆66个站点在月尺度下平均绝对偏差(MAE)、相对偏差(BIAS)的空间分布

Fig. 3 Spatial distribution of mean absolute error (MAE) and relative bias (BIAS) of 66 meteorological stations in Xinjiang at monthly scale

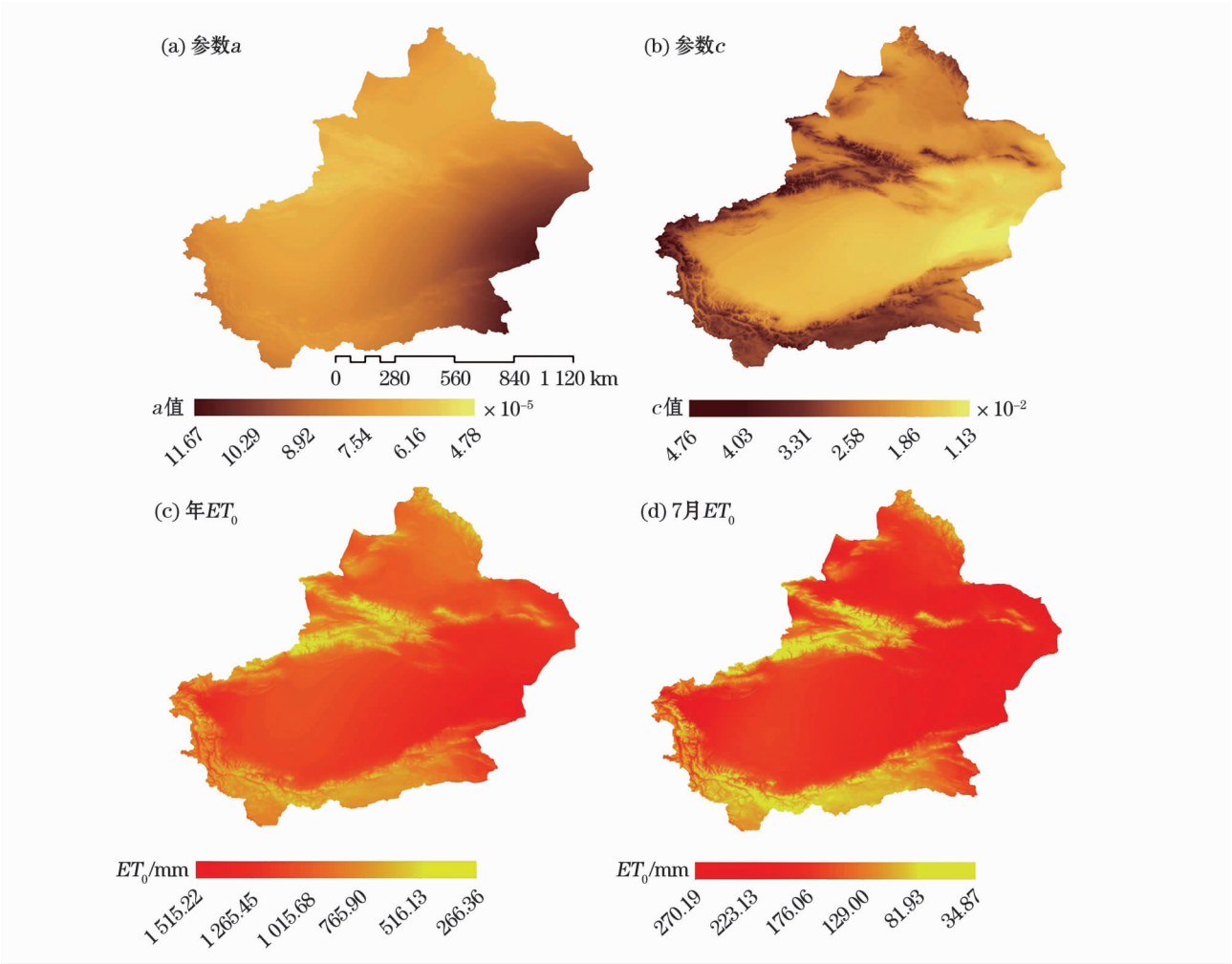


图4 参数 a 、 c 和新疆地区年 ET_0 和 7 月 ET_0 的空间分布
Fig. 4 Spatial distribution of the parameters a and c , and the annual ET_0 and ET_0 in July in Xinjiang

年平均气温较高,蒸发量明显偏大;而北疆地处中温带,纬度高,全年平均气温较低,相对湿润,潜在蒸散发较低。

(3) 蒸散发最强烈的月份 7 月,新疆 ET_0 均值为 164 mm,其空间分布与多年平均 ET_0 相似,呈现出平原区高,山区低的特点,而平原区中南北疆的蒸发量相近。相比较全年 ET_0 的空间变化,7 月份的 ET_0 空间变化更加明显,分异也更显著(图 4d)。

2.3 基于参数方程的 ET_0 空间插值数据的精度分析

以 PM 公式计算的 ET_0 值为标准,分析了 MOD16A2 和 CRU 数据对月平均潜在蒸散发的拟合精度(图 5)。结果表明:MOD16A2 数据的 ET_0 产品与 ET_{0_pm} 的决定系数 R^2 均值为 0.87,由于 MOD16A2 数据在裸地、荒漠及高山积雪层的缺失,仅能提取 46 个站点的 ET_0 值,其中有 31 个站点 R^2 值大于 0.90。相较 MOD16A2 数据而言,CRU 数据产品表现更佳,决定系数 R^2 均值为 0.95,66 个站点

中有 63 个站点的 R^2 值大于 0.90。

ET_{0_pm} 与 ET_{0_mod} 、MOD16A2 数据和 CRU 数据的决定系数 R^2 (表 1) 分析结果表明:CRU 数据的 R^2 均值在三者中最高,为 0.95,其中有 95.45% 的站点 R^2 值大于 0.90;参数方程仅次于 CRU 数据, R^2 均值为 0.94,但有 96.97% 的站 R^2 值大于 0.90;而 MOD16A2 的 R^2 均值为 0.87,只有 67.39% 站点 R^2 值大于 0.90。另外,不同计算方式下的平均绝对偏差 MAE 值在不同范围的站点个数也各不相同(表 2),

表 1 不同 ET_0 计算方式 R^2 值的分段站点个数
Tab.1 Number of the segmented meteorological stations for R^2 of different ET_0 calculation methods

ET_0 计算方式	站点 总数	不同 R^2 值对应的站点数			
		<0.50	0.50~0.70	0.70~0.90	0.90~1.00
参数方程	66	0	0	2	64
MOD16A2	46	1	7	7	31
CRU	66	0	1	2	63

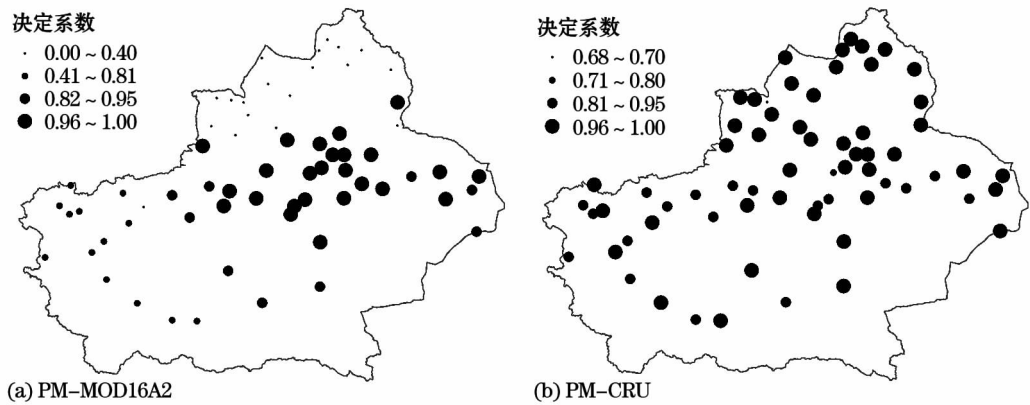


图5 PM公式计算的 ET_0 与MOD16A2和CRU提取的 ET_0 间决定系数的对比
Fig.5 Compared results of the determination coefficients between ET_0 calculated by Penman-Monteith formula and ET_0 extracted by MOD16A2 and CRU

当 $MAE \leq 0.50$ 时,CRU和MOD16A2数据的站点数分别为41和0个,而参数方程在该范围内的站点数有58个,占总数的87.88%。各种计算方式的相对偏差(BIAS)也存在差异,参数方程的BIAS为0.0154,MOD16A2数据为0.21,CRU数据为-0.0065。

2000—2014年,CRU数据、MOD16A2数据和参数方程与PM公式计算的 ET_0 月均值散点图(图6)

表2 不同 ET_0 计算方式MAE值的分段站点个数
Tab.2 Number of the segmented meteorological stations with MAE values of different ET_0 calculation methods

ET_0 计算方式	站点 总数	不同MAE值对应的站点数			
		≤ 0.50	0.50 ~ 1.00	1.00 ~ 2.00	2.00 ~ 5.50
参数方程	66	58	8	0	0
MOD16A2	46	0	2	22	22
CRU	66	41	17	5	3

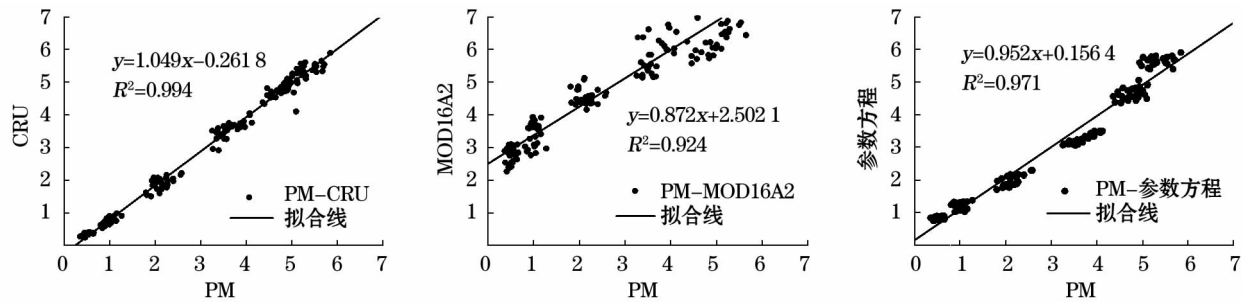


图6 CRU、MOD16A2和参数方程与PM公式计算的 ET_0 对比散点图
Fig.6 Comparison scatter plot between CRU,MOD16A2 and parameter formula with the ET_0 calculated by Penman-Monteith formula

表明:CRU数据和参数方程拟合效果明显优于MOD16A2数据,而MOD16A2数据出现了对 ET_0 值的高估。通过以上分析得出,参数方程相比其他2种数据产品(CRU、MOD16A2),决定系数 R^2 值大于0.90的站点个数以及绝对平均偏差MAE值小于0.50的站点数都较高,因而拟合效果较好。

3 讨论与结论

3.1 讨论

目前,潜在蒸散发估算方法主要分为3种类型^[6]:①基于辐射的方法,包括 Priestley-Taylor、

Makkink及Turc法^[14-15,25]。②基于温度的方法,包括 Thornthwaite和Blaney-Criddle公式^[12-13]。③基于辐射、温度和空气动力学项的 Penman-Monteith方法^[26]。Penman-Monteith方法具有很好的物理机制^[7],计算精度高,常被作为 ET_0 估算的标准。然而, Penman-Monteith方法的最大缺点在于过度依赖观测数据,在缺少资料地区难以推广和应用^[11]。另一方面,区域 ET_0 的高精度空间插值一直以来都是挑战^[27],目前多数研究都是针对已知站点的插值运算^[28-30]。如 Mcvitar等^[31]运用PM公式估算了黄河流域的 ET_0 ,并进行了空间栅格运算,得到了黄河

流域月尺度上 ET_0 的空间分布。虽然一些数据产品(如 MOD16A2、CRU)可提供空间化 ET_0 ,但其精度与空间分辨率较低^[21,32]。本研究所应用的参数化方案,结构简单,数据易获取(仅需要温度和总辐射数据)。而且参数化方程计算精度较高,日、月、季节尺度下的 R^2 值均大于 0.90。马亮等^[33]在新疆阿克苏地区运用 3 种潜在蒸散发模型计算的 ET_0 与 PM 公式计算的 ET_0 的相关系数低于 0.70。相比较,本文中的研究方法拟合精度较高。除了拟合结果十分接近 PM 公式外,参数方程还可实现 ET_0 的空间栅格运算,与 PM 公式的拟合精度较高,而且分辨率为 500 m,高于 CRU 数据与 MOD16A2 数据的空间分辨率。利用参数方程得到新疆地区的潜在蒸散发空间分布,分布特点是:平原区大于山区;南疆高于北疆,符合新疆地区 ET_0 空间分布特征,与张山清等^[34]研究结果一致。

参数方程是由彭曼公式演化而来,简化参数方程中参数 a 、 c 的空间变化有一定的规律。参数 a 和太阳辐射相关,呈现出东南高、西北低的特点,与新疆总辐射的空间分布相近^[35];参数 c 与海拔有关,海拔越高,参数 c 越大。这是由于参数 c 与温度呈负相关,而温度与海拔呈负相关,海拔越高温度越低,因而参数 c 与海拔高度存在正相关关系,参数 a 、 c 在空间分布上总体符合气象因素的变化规律,具有一定的参考价值^[8]。

参数方程可为 ET_0 空间插值运算提供可靠支撑,当某研究区域缺乏 PM 公式所需数据集时,这种方程将有可能成为替代 PM 公式的方法^[11],经过校准后的模型参数更符合当地的气候条件,并为一些表征干旱程度的指标提供参考,如干燥度指数^[21]、水文模型等。综上所述,参数方程的优点是结构简单,数据易获取,计算精度高。在观测手段不断进步、观测网络逐渐完善的背景下,简化参数方程在站点和区域尺度的 ET_0 计算上具有更大的应用价值和潜力。

3.2 结论

本文通过新疆 66 个站点 1960—2017 年的气象观测数据,评价和校准了简化参数方程的适用性,重点分析了参数方程、CRU 数据和 MOD16A2 数据与 PM 公式间的拟合程度,得出以下结论:

(1) 参数方程与 PM 公式在日、月及季节尺度上的拟合效果都表现较好, R^2 值均大于 0.90,且 R^2

值随时间尺度的增加而增大。 ET_{0_pm} 与 ET_{0_mod} 的 MAE 和 BIAS 均值分别为 0.38 和 0.016 0,总体偏差较小,拟合结果较优。

(2) 参数 a 、 c 经空间插值后,在空间分布上呈现一定规律,参数 a 呈现东南高、西北低的特点,与太阳辐射的空间变化规律相似,随着太阳辐射的降低而减小;参数 c 的空间分布则随着海拔高度的增加而增大。通过参数方程的空间插值得到新疆 ET_0 的空间分布总体表现为南疆大于北疆,平原区大于山区的格局。

(3) 评价了参数方程、CRU 数据和 MOD16A2 数据与 PM 公式的拟合效果及偏差程度,参数方程在拟合效果和空间分辨率方面表现更佳, R^2 大于 0.90,空间分辨率为 500 m × 500 m,可以提高 ET_0 的计算精度和空间分辨率。参数方程适用于新疆地区的潜在蒸散发计算,为气象资料缺乏地区提供了一种结构简单,数据容易获取的 ET_0 估算新方法。

参考文献 (References):

- [1] Jiang C, Nie Z, Mu X, et al. Potential evapotranspiration change and its attribution in the Qinling Mountains and surrounding area, China, during 1960 – 2012 [J]. *Journal of Water & Climate Change*, 2016, 7(3): 526 – 541.
- [2] Lv M X, Ma Z G, Lv M Z. Effects of climate/land surface changes on streamflow with consideration of precipitation intensity and catchment characteristics in the Yellow River Basin [J]. *Journal of Geophysical Research: Atmospheres*, 2018, 123(4): 1 942 – 1 958.
- [3] 武建军, 耿广坡, 周洪奎, 等. 全球农业旱灾脆弱性及其空间分布特征 [J]. *中国科学: 地球科学*, 2017, 47(6): 733 – 744. [Wu Jianjun, Geng Guangpo, Zhou Hongkui, et al. Global agricultural drought vulnerability and spatial distribution characteristics [J]. *Scientia Sinica Terrae*, 2017, 47(6): 733 – 744.]
- [4] Malamos N, Tegos A, Tsirogiannis I L, et al. Implementation of a regional parametric model for potential evapotranspiration assessment [C] // Montesano F F, Lamaddalena N. *Irrimed 2015 – Modern Technologies, Strategies and Tools for Sustainable Irrigation Management and Governance in Mediterranean Agriculture*. Bari: Ciheam Valenzano, 2015: 1 – 11.
- [5] 刘远, 周买春. 空间插值气象数据在 Shuttleworth-Wallace 潜在蒸散发模型中的应用 [J]. *水利水电科技进展*, 2017, 37(1): 8 – 16. [Liu Yuan, Zhou Maichun. Application of spatially interpolated meteorological data in estimation of potential evapotranspiration using Shuttleworth-Wallace model [J]. *Advances in Science and Technology of Water Resources*, 2017, 37(1): 8 – 16.]
- [6] McMahon T A, Finlayson B L, Peel M C. Historical developments

- of models for estimating evaporation using standard meteorological data[J]. *Wiley Interdisciplinary Reviews Water*, 2016, 3(6): 788 – 818.
- [7] Allen R G, Pereira L S, Raes D, et al. *Crop Evapotranspiration: Guidelines for Computing Crop Water Requirements*. FAO Irrigation and Drainage Paper 56[M]. Italy: Food and Agriculture Organization of the United Nations Rome, 1998: 15.
- [8] Tegos A, Malamos N, Efstratiadis A, et al. Parametric modelling of potential evapotranspiration: A global survey[J]. *Water*, 2017, 9(10): 795.
- [9] Hao X M, Zhang S H, Li W H, et al. The uncertainty of Penman-Monteith method and the energy balance closure problem[J]. *Journal of Geophysical Research: Atmospheres*, 2018, 123(14): 7 433 – 7 443.
- [10] 王永东, 邱永志, 许波, 等. 参考作物蒸散量计算方法在极端干旱区的适用性[J]. *干旱区研究*, 2014, 31(3): 390 – 396. [Wang Yongdong, Qiu Yongzhi, Xu Bo, et al. Reference crop evapotranspiration in hinterland of the Taklimakan Desert[J]. *Arid Zone Research*, 2014, 31(3): 390 – 396.]
- [11] Tegos A, Malamos N, Koutsoyiannis D. A parsimonious regional parametric evapotranspiration model based on a simplification of the Penman-Monteith formula[J]. *Journal of Hydrology*, 2015, 524: 708 – 717.
- [12] Thornthwaite C W. An approach toward a rational classification of climate[J]. *Geographical Review*, 1948, 38(1): 55 – 94.
- [13] Heydari M M, Tajamoli A, Ghoreishi S H, et al. Evaluation and calibration of Blaney-Criddle equation for estimating reference evapotranspiration in semiarid and arid regions[J]. *Environmental Earth Sciences*, 2015, 74(5): 4 053 – 4 063.
- [14] Ai Z P, Yang Y H. Modification and validation of Priestley-Taylor model for estimating cotton evapotranspiration under plastic mulch condition[J]. *Journal of Hydrometeorology*, 2016, 17(4): 1 281 – 1 293.
- [15] Alexandris S, Stricevic R, Petkovic S. Comparative analysis of reference evapotranspiration from the surface of rainfed grass in central Serbia, calculated by six empirical methods against the Penman-Monteith formula[J]. *European Water*, 2008, 21/22: 17 – 28.
- [16] Allen R G, Pruitt W O. Rational use of the FAO Blaney-Criddle formula[J]. *Journal of Irrigation & Drainage Engineering*, 1986, 112(2): 139 – 155.
- [17] Zhao S H, Yang Y H, Zhang F, et al. Rapid evaluation of reference evapotranspiration in Northern China[J]. *Arabian Journal of Geosciences*, 2015, 8(2): 647 – 657.
- [18] Haslinger K, Bartsch A. Creating long-term gridded fields of reference evapotranspiration in Alpine terrain based on a recalibrated Hargreaves method[J]. *Hydrology and Earth System Sciences*, 2016, 20(3): 1 211 – 1 223.
- [19] Tegos A, Efstratiadis A, Koutsoyiannis D. A parametric model for potential evapotranspiration estimation based on a simplified formulation of the Penman-Monteith equation[C]//Alexandris S G. *Evapotran Spiration: An Overview*. Rijeka: InTech, 2013: 143 – 165.
- [20] Baik J, Choi M. Multi-satellite-based water budget components in south Korea[J]. *Environmental Earth Sciences*, 2018, 77: 93.
- [21] McCabe G J, Wolock D M. Variability and trends in global drought[J]. *Earth and Space Science*, 2015, 2(6): 223 – 228.
- [22] Mu Q Z, Zhao M S, Running S W. Improvements to a MODIS global terrestrial evapotranspiration algorithm[J]. *Remote Sensing of Environment*, 2011, 115(8): 1 781 – 1 800.
- [23] Dhungel R, Allen R G, Trezza R, et al. Comparison of latent heat flux using aerodynamic methods and using the Penman-Monteith method with satellite-based surface energy balance[J]. *Remote Sensing*, 2014, 6(9): 8 844 – 8 877.
- [24] Hutchinson M F, Xu T B. *Anusplin Version 4.4 User Guide*[M]. Canberra: The Australian National University, 2013: 5 – 13.
- [25] Makkink G F. Ekzamenen de la formula de Penman[J]. *Netherlands Journal of Agricultural Science*, 1957(5): 290 – 305.
- [26] Penman H L. Natural evaporation from open water, bare soil and grass[J]. *Proceedings of the Royal Society of London*, 1948, 193(1 032): 120 – 145.
- [27] McMahon T A, Peel M C, Lowe L, et al. Estimating actual, potential, reference crop and pan evaporation using standard meteorological data: A pragmatic synthesis[J]. *Hydrology and Earth System Sciences Discussions*, 2013, 17(4): 1 331 – 1 363.
- [28] 史建国, 严昌荣, 何文清, 等. 黄河流域潜在蒸散量时空格局变化分析[J]. *干旱区研究*, 2007, 24(6): 773 – 778. [Shi Jianguo, Yan Changrong, He Wenqing, et al. Study on spatiotemporal change of evapotranspiration in the Yellow River Basin[J]. *Arid Zone Research*, 2007, 24(6): 773 – 778.]
- [29] Wang J, Lv X, Wang J L, et al. Spatiotemporal variations of reference crop evapotranspiration in Northern Xinjiang, China[J]. *The Scientific World Journal*, 2014, 2 014: 931515, doi: 10. 1155/2014/931515.
- [30] 普宗朝, 张山清, 王胜兰, 等. 近 48 a 新疆干湿气候时空变化特征[J]. *中国沙漠*, 2011, 31(6): 1 563 – 1 572. [Pu Zongchao, Zhang Shanqing, Wang Shenglan, et al. The spatial-temporal variation characteristic of dry-wet climate in recent 48 years in Xinjiang Province, China[J]. *Journal of Desert Research*, 2011, 31(6): 1 563 – 1 572.]
- [31] Mevicar T R, Van Niel T G, Li L T, et al. Spatially distributing monthly reference evapotranspiration and pan evaporation considering topographic influences[J]. *Journal of Hydrology*, 2007, 338(3 – 4): 196 – 220.
- [32] Choudhury B J. Global pattern of potential evaporation calculated from the Penman-Monteith equation using satellite and assimilated data[J]. *Remote Sensing of Environment*, 1997, 61(1): 64 – 81.
- [33] 马亮, 魏光辉. 新疆塔里木盆地西缘参考作物蒸散模型的适用性评价[J]. *干旱区资源与环境*, 2015, 29(8): 132 – 137. [Ma Liang, Wei Guanghui. Applicability evaluation on the ET_0 model in western margin of Tarim Basin[J]. *Journal of Arid Land*

- Resources and Environment, 2015, 29(8): 132–137.]
- [34] 张山清, 普宗朝. 新疆参考作物蒸散量时空变化分析[J]. 农业工程学报, 2011, 27(5): 73–79. [Zhang Shanqing, Pu Zongchao. Temporal and spatial variations characteristics of reference evapotranspiration in Xinjiang[J]. Transactions of the Chinese Society of Agricultural Engineering, 2011, 27(5): 73–79.]
- [35] 辛渝, 赵逸舟, 毛炜峰, 等. 新疆太阳总辐射资料的均一性检验与气候学估算式的再探讨[J]. 高原气象, 2011, 30(4): 878–889. [Xin Yu, Zhao Yizhou, Mao Weifeng, et al. Homogeneity test of the total solar radiation data series and further research on climatological calculation over Xinjiang[J]. Plateau Meteorology, 2011, 30(4): 878–889.]

A Simplified Method and Its Application for Estimating Potential Evapotranspiration

ZHANG Ying^{1,2}, HAO Xing-ming¹, HUA Ding^{1,2}, SUN Hai-tao^{1,2}, LI Yu-peng^{1,2}

- (1. State Key Laboratory of Desert and Oasis Ecology, Xinjiang Institute of Ecology and Geography, Chinese Academy of Sciences, Urumqi 830011, Xinjiang, China;
2. University of Chinese Academy of Sciences, Beijing 100049, China)

Abstract: Potential evapotranspiration plays an important role in estimating the regional water balance and crop water demand and also assessing drought. However, the spatial interpolation of potential evapotranspiration is always a challenge for relevant researches. In this study, a simple parametric model was used to achieve the spatialization of the potential evapotranspiration (ET_0) in Xinjiang based on the observed data from 66 meteorological stations in Xinjiang from 1960 to 2017. The results indicated that: ① There was a certain regularity of spatial distribution of the two important parameters a and c of the simplified parametric model. The parameter a was spatially high in the southeast but low in the northwest of Xinjiang. The parameter c , however, was increased with the increase of altitude; ② Compared with the Penman-Monteith method, the R^2 values of the simplified parametric model at the daily, monthly and seasonal scales were all higher than 0.90, and they were increased with the increase of time scale; ③ The compared results between the fitting results of the simplified parametric model and the CRU data and MOD16A2 data revealed that the R^2 values of the simplified parametric model and of the Penman-Monteith method were high, the fitting results and errors were better, but the R^2 values fitted with CRU and MOD16A2 were low. Moreover, the accuracy of potential evapotranspiration and the spatial resolution (500 m × 500 m) obtained by the simplified parametric model were high. Therefore, the simplified parametric model is a convenient and effective model for calculating the ET_0 at regional scale, and can be applied to estimate the potential evapotranspiration in Xinjiang.

Key words: potential evapotranspiration (ET_0); parametric equation; Penman-Monteith method; spatial interpolation